#### Results and Discussion

The relation between carbonizing temperatures and electrical resistivity of *White Popinac, Bamboo, Coconut Shell* and *Eucalyptus* are shown in table 1.

Table 1: Electrical resistivity of wood charcoals at different carbonizing temperature

Type of wood	Temperature	Electrical
charcoal	(•€)	resistivity (* )
	400	-
	600	$4.15 \times 10^6$
White Denings	700	$3.72 \times 10^2$
White Popinac	800	9.4
	900	7.4
	1000	5.1
	400	-
	600	$2.36 \text{x} 10^7$
Bamboo	700	$1.75 \times 10^{5}$
Bamboo	800	23.6
	900	10.5
	1000	9.7
	400	-
	600	$6.96 \text{x} 10^5$
Coconut Shell	700	$1.51 \text{x} 10^4$
Coconui sneii	800	108.3
	900	26.3
	1000	19.8
	400	-
	600	$2.25 \text{x} 10^7$
English	700	$1.76 \times 10^{5}$
Eucalyptus	800	11.2
	900	5.6
	1000	4.1

From the table, the wood charcoals showed electrical resistivity decreases as increasing carbonizing temperature. At room temperature to about 400 •€, the removal of insulating volatile matters and breakage of C-H bonds has occurred. After the temperature increase to about 800 •€, C-H bonds are completely broken whereas the loss of volatiles predominates and results in an increase in both fixed and total carbon contents in wood charcoal [11]. Such reason depicts that electrical resistivity of wood charcoals had much decrease during carbonization temperature up to 800 •€.

Above 800 •€, electrical resistivity slightly decreases due to the breakage of the C-H bond resulting in the formation of free valence electron and appears to contribute to the electrical conductivity of wood charcoals. According to Neely [12], increase of carbonizing temperature affected to higher C/H ratio in wood charcoals. This means that the extent of aromatization increases with increasing carbonization temperature. The aromatization of wood charcoals leads to decrease in its resistivity of aromatic nuclei [13]. And from Kuma and Gupta [3], the soaking time (2 to 5 hours) is not the strong function to the carbon content in wood charcoals.

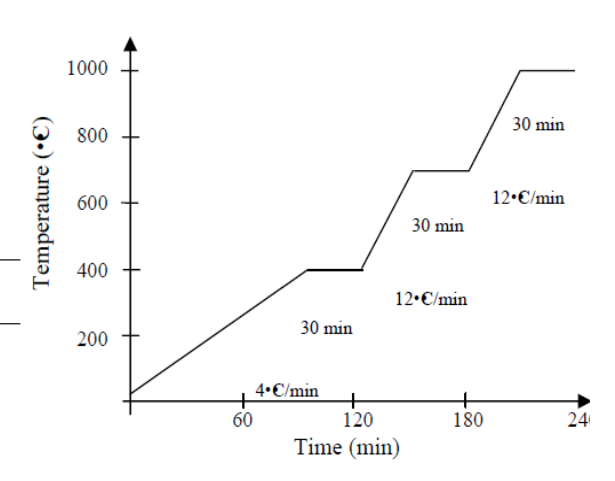


Figure 2. Suitable carbonizing conditions for wood charcoals

From table 1, electrical resistivity of White Popinac, Bamboo, Coconut Shell and Eucalyptus are close but slightly different due to the different in principal chemical constituents in wood. Cellulose, which has an electrical insulating effect, has higher electrical resistivity and energy gap than lignin [13]. The ratio of cellulose:lignin in wood indicated electrical resistivity, the higher ratio in wood, the high electrical resistivity in charcoals. Bamboo, white popinac and coconut shell have higher electrical resistivity due to their higher ratio of cellulose than Eucalyptus.

From these results, the suitable carbonizing temperatures to all wood charcoals were obtained. The heating temperature increases stepwise from room temperature to 400 ⋅ € at the heating rate of 4 ⋅ €/min and from 400 ⋅ 700, 700 ⋅ 1000 ⋅ € at the heating rate of 12 ⋅ € /min (figure 2). Accordingly, the soaking time was 30 min for completing the reaction in each step.

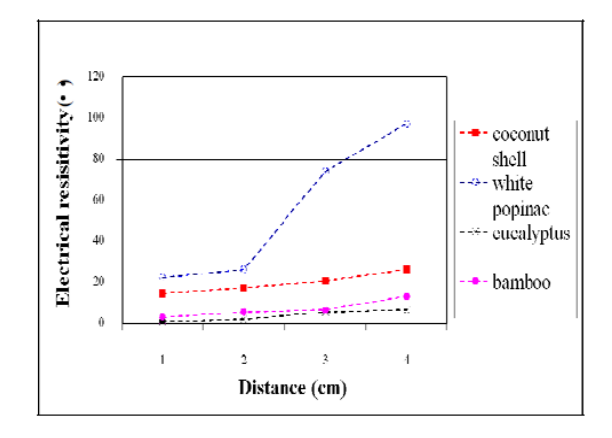


Figure 3. Electrical resistivity of wood charcoals after forming

After forming by placing the charcoal powders into the containers, electrical resistivity was observed, as shown in figure 3. Electrical resistivity increases with increasing distance between two copper wires in all samples.

#### Conclusions

Carbonizing conditions affected to the electrical resistivity of White Popinac, Bamboo, Coconut Shell and Eucalyptus wood charcoal. The suitable conditions were started from 400, 700 and up to 1000 ⋅ ℂ. The soaking time at the highest temperature were 30 minutes for all samples. Electrical resistivity of the charcoal powders were found to be 5.1, 9.7, 19.8 and 4.1 ⋅ for White Popinac, Bamboo, Coconut Shell and Eucalyptus, respectively. After forming, electrical resistivity increases with increasing distance between two copper wires in all samples.

#### Acknowledgement

The researchers would like to thanks the Thailand Research Fund (TRF) and the Research and Development Institute of Nakhon Pathom Rajabhat University (NPRU) for financial supports.

#### References

- Y. Imamura, Shokubai. 41 (1991), pp. 254-258.
- [2] http://acs.omnibooksonline.com/data/papers/1995. 738.pdf
- [3] M. Kumar and R.C. Gupta, J. Mat. Sci. 28 (1993), pp. 440-444.
- [4] M. Anbar, D.E. McMillen, R.D. Weaver and P.J. Jorgensen, U.S. Pat. No. 3,940,474, 1996.
- [5] M. Anbar, U.S. Pat. No. 3,741,809, 1973.
- [6] T.M. Gur and R.A. Huggins, J. Electrochem. Soc. 139 (1992), p. L95.
- [7] A.R. Ford, Modern Aspects of Graphite Technology, Academic Press, London, 1970, pp. 258.
- [8] M.J. Antal and M. G. Gronli, Ind. Eng. Chem. Res. 42 (2003), p. 1919.
- [9] M.J. Antal, U.S. Pat. No. 7,405,020 B2, 2008.
- [10] K. Nishiyama, T. Hata, H. Kikushi and Y. Imamura, J. Wood. Sci. 50 (2004), pp. 177-181.
- [11] M. Kumar, Ph.D. Thesis, Banarus Hindu University, India, 1991.
- [12] J.W. Neely, ibid. 19 (1981), p. 27.
- [13] K. Ouchi, Fuel. 46 (1967), p. 71.



# วารสาร

# วิทยาศาสตร์และเทคโนโลยี มหาวิทยาลัยราชภัฏนครปฐม

มหาวิทยาลัยราชภัฏนครปฐม NPRU JOURNAL OF SCIENCE AND TECHNOLOGY

ISSN: 1905-7105

• BISMUTH-MODIFIED ELECTRODES FROM EUCALYPTUS CHARCOAL POWDERS FOR ANODIC STRIPPING VOLTAMMETRIC DETERMINA	TION OF
LEAD AND CADMIUM	1
Sompong Thongngamdee, Suwimon Ruengsri and Thanyanan Sripanlom	
<ul> <li>การศึกษาผลจากการเติมแป้งมันสำปะหลังต่อสมบัติทางกายภาพและการย่อยสลายได้ของโฟมพอลิยูรีเทนชนิดแข็ง</li> <li>ปานจันทร์ ศรีจรูญ และศรินทิพย์ พิบูลย์ศิลป์</li> </ul>	7
การสร้างขั้วไฟฟ้าแกรไฟต์จากไม้ยูคาลิปตัสสำหรับตรวจหาโลหะตะกั่วปริมาณน้อย	40
• ITTORY INVITATION INTUITING INDIVIDUAL INTUITION TO THE PROPERTY OF THE PROP	
เกตินี เสาวงจันทร์, ธันยนันท์ ศรีพันธ์ลม, สุวิมล เรื่องศรี, และสมปอง ทองงามดี • การเปรียบเทียบประสิทธิภาพการทำงานของขั้วไฟฟ้ากลาสซีคาร์บอนกับขั้วไฟฟ้าถ่านไม้ไผ่	00
• การเปรยบเทยบระสทธภาพการทางานของขวเพพากลาสชคารบอนกบขวเพพาถานเมเผ	22
กาญจนา โพธิ์เย็น, ธันยนันท์ ศรีพันธ์ลม, สมปอง ทองงามดี และสุวิมล เรื่องศรี	
การพัฒนาโปรแกรมประมาณราคางานกระจกและอลูมิเนียมสำหรับธุรกิจขนาดกลางและขนาดย่อม	29
• สมบัติทางโครงสร้างและทางแสงของฟิล์มบางเชอร์โคเนียมที่เตรียมโดยการเกิดปฏิกิริยาออกซิเดชันด้วยความร้อน	39
โรสลีนา ยูโซะ, กมล เอี่ยมพนากิจ, มัสลิน โชติรัตน์, ฐิติศักดิ์ กูลเกล้าปราการ, มติ ห่อประทุม และพงศ์พันธ์ จินดาอุดม	
• STUDY ON PHYSICAL AND OPTICAL PROPERTIES OF BaO-B <sub>2</sub> O <sub>3</sub> -SiO <sub>2</sub> TERNARY GLASS SYSTEM	47
Suparat Tuscharoen, Narongchai Boonyopakorn, Weerapong Chayarun, Pichet Limsuwan and Weerapong Chewpraditkul	
<ul> <li>จบลาสนา ในธัดโลเวอท, ฟลาดาเรียนรู้วิทยาศาสตร์ท้องถิ่น เรื่อง ความหลากหลายทางชีวภาพ และการใช้ประโยชน์ของพืชและสัตว์น้ำในระบบนิเวศชายน้ำ เ</li> </ul>	าสายพราย
• เกรางอนและพมนากระบนนารเรอนรู้ หลับสายอินนี เรอง พระเทศ เดกเกิน และการแนน และการแนน เลย เกิน เลย เกิน ค. จ.นครปฐม	EQ.
จ.นควบฐม	00
ทศพร พพพมนากนุกูล, อนกูกการหมา และ ภลนา เมยมแลวง • การวิจัยและพัฒนากระบวนการเรียนรู้บทเรียนคณิตศาสตร์ท้องถิ่น เรื่อง แผนที่ชุมชนท่าพูด	EC
• การวงยและพุฒนากระบวนการเรอนรูบทเรอนพนเทพาสตรทยงถน เรยง แผนทรุ่มอนท เพูต	58
คิริชัย โสภา, อรุณี เล้าอรุณ, รัตนา ธนธนานนท์ และมัทรียา นาคสงวน ● การวัดความคงตัวต่อปฏิกิริยาออกซิเดชันของน้ำมันภายใต้สภาวะเร่งโดยวิธีวัดค่าการนำไฟฟ้า	0.5
• การวดความคงตัวตอบฏิการยาออกชเตชนของนามนภายเตสภาวะเรงเดยวลวดตาการนาเพพา	60
จินตนา วิบูลูย์ศิริกุล, ณัฐวุฒิ จุยกระจาย และกาญจนา มะลิวัลย์	
• การพัฒนาน้ำฟักช้าวพร้อมดื่ม	73
ประภาพรรณ เพียรชอบ, ลาวัลย์ จันทร์วงษ์ และสุพัตรา เหลืองรัตน์วัฒนะ	
• การเปลี่ยนแปลงปริมาณวิตามินบี 1 ในการผลิตข้าวกล้องงอกนึ่งแบบทั้งเปลือกและกะเทาะเปลือก	
และข้าวมอลต์นึ่งจากข้าวขาวดอกมะลิ 105 ระดับห้องปฏิบัติการ	83
วาสนา กล้าหาญ, ยุพกนิษฐ์ พ่วงวีระกุล และอินทิรา แถมพยัคฆ์	
ผลของการเสริมสาหร่ายทะเล งาดำ และข้าวกล้องหอมมะลิงอกต่อคุณภาพของปาท่องโก๋	90
สุธรรมา พิสุทธิ์โสภณ	
• ปัจจัยที่มีผลต่อการตัดสินใจชื้อขนมหม้อแกงที่จำหน่ายในจังหวัดเพชรบุรี	99
อรอบงค์ ศรีพวาทกล กัญญา รัชตชัยยศ กิตติมา ฉีละพงศ์วัฒนา และจินตนา วิบลย์ศิริกล	
• พัฒนาวิธีการสกัดดีเอ็นเอเพื่อใช้ในการวินิจฉัยโรคใบขาวอ้อยที่มีประสิทธิภาพและรวดเร็ว	105
สปรากี บกโบบแต้ และสิริภัทร์ พราหมณีย์	
• การพัฒนาชุดฝึกการเรียนการสอนโดยใช้โปรแกรม VISUAL BASIC ร่วมกับ SCILAB	113
จิรับดร บัตวดใช้ และปียะ โควิบท์ทวีวัฒน์	
• การเปรียบเพียบประสิทธิภาพของวงจรตรวจหา NPML ในช่องสัญญาณการบันทึกแบบแนวตั้งที่มีผลกระทบของสัญญาณรบกวนสื่อบันทึก	123
ณัฏฐนันท์ ภัทรสวัณต์ และปียะ โควินท์ทวีวัฒน์	
<ul> <li>การเปรียบเทียบความชับซ้อนของไทมมิ่งริคัฟเวอรีแบบประมาณค่าในช่วงสำหรับระบบการบันทึกเชิงแม่เหล็กแบบแนวตั้งที่มีสัญญาณรบกวนแบบจิตเตอร์</li> </ul>	134
สุเมธ นัฏสถาพร, ปียะ โควินท์ทวีวัฒน์, และจาตุรงค์ ตันติบัณฑิต	
คำแนะนำสำหรับผู้เขียน	145
ตัวอย่างเทมเพลดของการเขียนบทความวิจัยภาษาไทย	148
ตัวอย่างเทมเพลตของการเขียนบทความวิจัยภาษาอังกฤษ	
แบบฟอร์มส่งบทความเพื่อพิจารณานำลงวารสารวิทยาศาสตร์และเทคโนโลยี	
ายการสาราชิการสาราชิทยาศาสตร์และเทดโปโลมี	

FACULTY OF SCIENCE AND TECHNOLOGY
NAKHON PATHOM RAIABHAT LINIVERSITY

## BISMUTH-MODIFIED ELECTRODES FROM EUCALYPTUS CHARCOAL POWDERS FOR ANODIC STRIPPING VOLTAMMETRIC DETERMINATION OF LEAD AND CADMIUM

Sompong Thongngamdee\*, Suwimon Ruengsri and Thanyanan Sripanlom

Department of Chemistry, Faculty of Science and Technology, Nakhon Pathom Rajabhat University, Nakhon Pathom, Thailand

#### **Abstract**

Charcoal powders (CPs) produced from Eucalyptus under different carbonization temperatures for use as the substrate of bismuth film electrodes were examined. The electrical resistivity of CPs within an interval of 4-5  $\Omega$  was obtained by stepwise increasing carbonization temperatures to 400, 800 and finally 1,000°C with the soaking time of 30 min. The bismuth film can be generated onto the bare charcoal paste surface from internal plating (in-situ) solution to make bismuth film charcoal paste electrodes (BiF-CPEs). As shown on selected examples, BiF-CPEs exhibit a good performance in anodic stripping voltammetric analysis of some heavy metals such as lead and cadmium.

Keywords Eucalyptus, Charcoal, Lead, Cadmium, Anodic stripping voltammetry

#### 1. INTRODUCTION

Carbon electrodes as the substrates for deposition of bismuth film were first proposed as early as in the period of initial characterization of bismuth film electrodes (BiFEs) [1-2] and supports of this type are still of continuing interest [3–6]. Several studies have been devoted to the formation of the bismuth film onto different supporting transducers such as screen-printed carbon electrode [7], glassy carbon [8], carbon fiber [9], carbon paste [10], graphite [11], etc. Furthermore, the connection of BiFEs to stripping voltammetric procedures has been developed for the determination of trace metals, e.g. molybdenum [12], vanadium [13], chromium [14], uranium [15], beryllium [16], etc.

Among the various electrode materials available, carbon paste attracts immense attention due to its inherent properties such as simple preparation, fast and effective surface renewal, favorable signal-to-noise characteristics and the ease and variability with which carbon paste can be modified [6]. Wood charcoal powder which can be used as carbon paste electrodes [17] is one form of charcoal powders. The carbon paste electrodes made from charcoal powders or coke bonded with sugar syrup or coal tar can be produced from carbonization process at high temperatures [18]. Carbon content in high temperature carbonized charcoal can have in excess of 94%. Some carbonized charcoals were purer than natural graphite [19], and electrical properties were closely related to degree of graphitization in wood charcoals [20].

In this article, we report for the first time of preparing and characterizing the charcoal powders from Eucalyptus to use as substrate for bismuth film electrodes. The bismuth-modified electrodes from Eucalyptus charcoal powders were successfully exploited the favorable mechanical and electrochemical properties of carbon paste electrodes. The bismuth film charcoal paste electrodes (BiF-CPEs) revealed its attractive electroanalytical performance in conjunction with advanced anodic stripping voltammetric analysis for trace lead and cadmium determination.

#### 2. MATERIALS AND METHODS

#### 2.1 Materials

All chemicals used for the preparation of stock and standard solutions were of analytical reagent grade and purchased from Sigma-Aldrich. Stock 0.1 M solutions of acetate buffer (pH 4.5) were prepared in deionized water. The atomic absorption grade of Bi(III) for plating the bismuth film and Pb(II), Cd(II) standard solutions contained 1000 mg I<sup>-1</sup> of the respective ions. The solutions were diluted as required. Deionized water was used throughout the experimental work. All measurements were carried out at room temperature.

#### 2.2 Methods

Charcoal powders produced from Eucalyptus were prepared as mentioned previously [21]. Briefly, wood sample of Eucalyptus were cut into 12 cm<sup>2</sup> and carbonized to 400°C at the starting rate of 4°C/min and then to 800 and 1000°C (soaking time of 30 min) at the heating rate of 12°C/min. After the charcoals were allowed to cool in the furnace, the electrical resistivity was measured. Electrodes were constructed by grinding the charcoal into powders, mixing with mineral oil which is functioned as binder, and placing in a pipette tip which is used for charcoal paste container. Copper wire is inserted into the paste for electrical conductor. The design of CPEs contained in pipette tip is shown in Fig. 1.

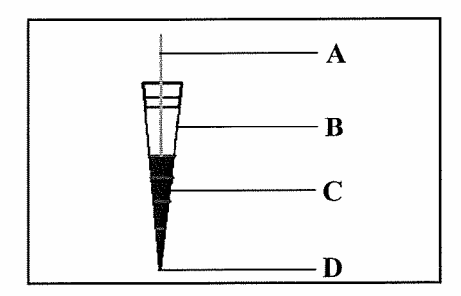


Figure 1 Charcoal powder electrode contained in pipette tip; A, copper wire; B, pipette tip; C, charcoal paste and D, electrode surface.

#### 2.3 Apparatus

Square wave anodic stripping voltammetric (SWASV) measurements were conducted using a "Potentiostat" Electrochemical Analyzer (Edaq, Australia) connected to a laptop computer. The cell assembly consisted of BiF-CPEs working electrode, a Ag/AgCl (3 M KCl) reference electrode (Model CHI111, CH Instruments), and a platinum wire counter electrode. All glassware was soaked in a 1 M nitric acid solution and rinsed several times with deionized water prior to use.

#### 3. RESULTS AND DISCUSSION

#### 3.1 Characterization of Eucalyptus wood charcoal

The relation between carbonizing temperatures and electrical resistivity of Eucalyptus during carbonization process is shown in Table 1. The decrease of electrical resistivity of wood charcoals as increase carbonizing temperature is indicated. The removal of insulating volatile matters and breakage of C-H bonds occurred during heating up to 400°C. C-H bonds are completely broken whereas the loss of volatiles predominates and results in an increase in

both fixed and total carbon contents in wood charcoal when the temperature is up to 800°C. Such reason depicts that electrical resistivity of wood charcoals had much decrease during carbonization temperature up to 800°C [21].

Table 1 Electrical resistivity of Eucalyptus wood charcoal at different carbonizing temperatures.

Temperature (°C)	Electrical resistivity ( $\Omega$ )	
room temperature	N/A	
400	$2.25 \times 10^7$	
800	11.2	
1000	4.1	

Above 800°C, electrical resistivity slightly decreased due to the breakage of the C-H bond resulting in the formation of free valence electron and appeared to contribute to the electrical conductivity of wood charcoals. The increase of carbonizing temperature affected to higher C/H ratio in wood charcoals. This means that the extent of aromatization increased with increasing carbonization temperature. The aromatization of wood charcoals led to decrease in its resistivity [21].

Moreover, the electrical resistivity of Eucalyptus wood charcoal within an interval of 4-5  $\Omega$  was obtained from 5 repetitive carbonizing experiments. However, the typical ohmic resistivity of between 5 and 15  $\Omega$  shows a well-homogenized powders [6] and can readily be used as a substrate for bismuth film plating. Accordingly, in this work the Eucalyptus powders of 4.1  $\Omega$  resistance were used as a substrate throughout.

#### 3.2 Bismuth film plated bare charcoal paste

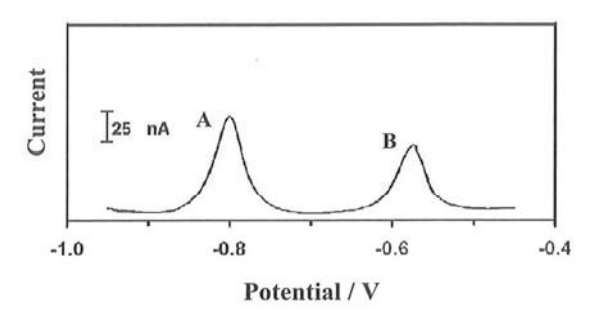
The freshly renewed surface of the bare carbon paste in the pipette tip holder was coated with the bismuth film using an internal plating (in-situ) method. The sample solutions of Pb(II) and Cd(II) were directly spiked into the internal plating solution containing supporting electrolyte solution (0.05 M acetate buffer (pH 4.5)) and 500 ppb Bi(III) ions.

The sample solution of Pb(II) (50 ppb) and Cd(II) (50 ppb) in plating solution was accumulated with stirring by holding the potential of the BiF-CPEs at -1.0 V for 90 s. Following the preconcentration, the stirring was stopped and after 15 s equilibration, the square wave anodic stripping voltammogram was recorded over the -1.0 to -0.4 V range (using an amplitude of 25 mV, a step potential of 4 mV, and a frequency of 25 Hz). After each scan (and before the next measurement) the electrode was held at -0.4 V for 15 s (to allow removal of the oxidized species from the surface). The response of the bismuth films deposited on charcoal paste by using SWASV measurements is depicted in Fig. 2.

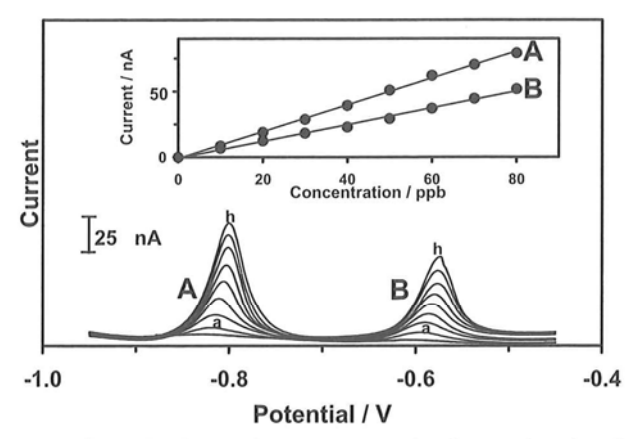
As shown in Fig. 2 the stripping voltammogram recorded at BiF-CPEs exhibited well-defined, sharp and undistorted stripping signals for both heavy metals with peak potentials at 0.80 and -0.56 V for cadmium and lead, respectively. The voltammogram yielded significantly high stripping peaks for both metals, implying rich preconcentration capabilities of BiF-CPEs. Also large response can be also attributed to the low measured resistivity of charcoal powders produced from carbonizing procedure and sufficient mixing between charcoal powder and mineral oil.

#### 3.3 Analytical performance of BiF-CPEs

With the aim of attaining more insights into the electroanalytical performance of BiF-CPEs, we followed the anodic stripping voltammetric responses of the proposed electrodes for 8



**Figure 2** Square wave anodic stripping voltammogram of 50 ppb Cd (A) and 50 ppb Pb (B) at BiF-CPEs. Supporting electrolyte, 0.05 M acetate buffer (pH 4.5); accumulation, -1.0 V for 90 s with stirring, anodic potential scanning from -1.0 to -0.4 V with an amplitude of 25 mV, step potential of 4 mV, and a frequency of 25 Hz.



**Figure 3** Square wave anodic stripping voltammograms for increasing levels of cadmium (A) and lead (B) in 10 ppb steps (curves a – h) at BiF-CPEs along with the background response (dotted line). Accumulation time, 60 s. Also shown, inset is the resulting calibration plots. Other conditions, as in Fig. 2.

successive increments of a 10 ppb additions up to 80 ppb of cadmium and lead in connection with a 60 s deposition period at a potential of -1.0 V. Those voltammograms and linear response plots were illustrated in Fig. 3.

The BiF-CPEs displayed excellent linear behavior in the examined concentration range with a correlation coefficient ( $R^2$ ) of 0.998 and 0.997 for cadmium and lead, respectively. The reproducibility tests from 10 repetitive measurements (n=10), in connection with 60 s deposition time at -1.0 V, yielded %R.S.D. of 3.8 and 4.5 for 20 ppb cadmium and lead, respectively (not shown). The estimated limit of detection, based on  $3\sigma$  criterion for the 5 ppb cadmium and lead after a 300 s deposition step, was 1.5 and 1.2 ppb for cadmium and lead, respectively. In addition, the electrode did not show any memory effects for both analytes under inspection, which presence could be a serious obstacle for its further application to real samples.

#### 4. CONCLUSION

We have demonstrated an attractive protocol of charcoal powders produced from Eucalyptus under different carbonization temperatures for use as the substrate of bismuth film electrodes.

The carbonizing temperature intensely affected the electrical resistivity of Eucalyptus charcoal during carbonization. The suitable conditions were started from 400 to 800 and finally up to 1000°C with the soaking time at the highest temperature of 30 min. The electrical resistivity of powders within an interval of 4-5  $\Omega$  was obtained from five repetitive carbonization processes.

The bismuth film can be generated onto the bare surface of Eucalyptus charcoal paste from internal plating (in-situ) solution to make bismuth film charcoal paste electrodes. Application of the electrodes to determine the trace amount of cadmium and lead was successful. The results exhibited a good analytical performance of the electrodes in connection to square wave anodic stripping voltammetric mode. The excellent linearity of concentration dependence, good reproducibility and low limit of detection were accomplished for both metals. Furthermore, electrode fouling and memory effects were not found on the electrodes during measurements. Hence, further efforts in this direction will attend on employing the electrodes to analyze some heavy metals in real samples. The developing of single-use electrodes for onsite measurements of cadmium and lead in the environments will also be focused.

#### 5. ACKNOWLEDGEMENTS

Financial support from the Thailand Research Fund (TRF) and the Research Development Institute (RDI) of Nakhon Pathom Rajabhat University (NPRU) is gratefully acknowledged.

#### 6. REFERENCES

- [1] Krolicka, A., Pauliukaite, R., Svancara, I., Metelka, R., Bobrowski, A., Norkus, E., Kalcher, K. and Vytras, K., Electrochem. Commun., Vol. 4; 193, 2002.
- [2] Vytras, K., Svancara, I. and Metelka, R., Electroanalysis, Vol.14; 1359, 2002.
- [3] Flechsig, G.U., Korbout, O., Hocevar, S. B., Thongngamdee, S., Ogorevc, B., GrVndler P. and Wang, J. Electroanalysis, Vol. 14; 192, 2002.
- [4] Svancara, I., Baldrianova, L., Vlcek, M., Metelka, R. and Vytras, K., Electroanalysis, Vol 17; 120, 2005.
- [5] Svancara, I., Kotzian, P., Bartos, M. and Vytras, K., Electrochem. Commun., Vol 7; 657, 2005.
- [6] Hocevar, S. B., Svancara, I., Vytras, K. and Ogorevc, B., Electrochim. Acta, Vol 51; 706, 2005.
- Wang, J., Lu, J., Hocevar, S.B. and Ogorevc, B., Electroanalysis, Vol. 13; 13, 2001.
- [8] Hocevar, S.B., Ogorevc, B., Wang, J. and Pihlar, B., Electroanalysis, Vol. 14; 1707,
- [9] Hutton, E.A., Hocevar, S.B. and Ogorevc, B., Anal. Chim. Acta, Vol. 537; 285, 2005.
- [10] Elsuccary, S.A.A., Svancara, I., Metelka, R., Baldrianova, L., Hassouna, M.E.M. and Vytras, K., Sci. Pap. Univ. Pardubice, Ser. A 9; 5, 2003.
- [11] Demetriades, D., Economou, A. and Voulgaropoulos, A., Anal. Chim. Acta, Vol. 519; 167, 2004.
- [12] Wang, J., Thongngamdee, S. and Lu, D., Electroanalysis. Vol. 18; 59, 2006.
- [13] Wang, J., Lu, D. and Thongngamdee, S., Talanta, Vol. 69; 914, 2006.

## การสร้างขั้วไฟฟ้าแกรไฟต์จากไม้ยุคาลิปตัส สำหรับตรวจหาโลหะตะกั่วปริมาณน้อย

### Fabrication of Graphite Electrode from Eucalyptus for Trace Analysis of Lead

เกศินี เสาวงจันทร์, ธันยนั้นท์ ศรีพันธ์ลม\*, สุวิมล เรื่องศรี, และสมปอง ทองงามดี

โปรแกรมวิชาเคมี คณะวิทยาศาสตร์และเทคโนโลยี มหาวิทยาลัยราชภัฎนครปฐม

#### บทคัดย่อ

งานวิจัยนี้ เป็นการสร้างขั้วไฟฟ้าแกรไฟต์จากไม้ยูกาลิปตัสสำหรับตรวจหาโลหะตะกั่วปริมาณน้อย ด้วย เทคนิกสแควร์เวฟแอ โนดิกสทริปปิงโวลแทมเมทรี โดยเผาไม้ยูคาลิปตัสด้วยสภาวะที่เหมาะสม คือ 400, 700 และ 1000 องศาเซลเซียส แต่ละอุณหภูมิปล่อยทิ้งไว้เป็นเวลา 30 นาที วัดค่าความต้านทานไฟฟ้าของถ่านได้ 3.50 โอห์ม การวิเคราะห์หาปริมาณ โลหะตะกั่วปริมาณน้อย โดยใช้สารละลายบัฟเฟอร์ pH 4.5 ในการวิเคราะห์ ด้วยขั้วไฟฟ้ากลาสซีคาร์บอนฟิล์มบิสมัทเพื่อใช้ในการสร้างกราฟมาตรฐาน ผลจากการวิเคราะห์ด้วยเทคนิค สแควร์เวฟแอโนดิกสทริปปิงโวลแทมเมทรี จะปรากฏพีคออกซิเคชันโพเทนเซียลที่ -0.5 โวลต์ และพบว่า เมื่อความเข้มข้นของสารมาตรฐานเพิ่มขึ้นเป็น 0.1, 0.2, 0.3, 0.4, 0.5, 0.6, 0.7 และ 0.8 ไมโครกรัมต่อลิตร ค่ากระแสของการตรวจจับได้เพิ่มขึ้นเป็น 4.00, 10.40, 16.00, 24.00, 46.40, 51.20, 56.00 และ 62.40 นาโน แอมแปร์ ตามลำดับ การวิเคราะห์สัญญาณกระแสไฟฟ้าโดยใช้ขั้วไฟฟ้า ที่เตรียมขึ้นพบว่า มีการตอบสนอง ของขั้วไฟฟ้าในสารละลายตะกั่วที่มีค่าใกล้เคียงกับสัญญาณกระแสไฟฟ้าของขั้วไฟฟ้ากลาสซีคาร์บอนและ ขั้วไฟฟ้าที่สามารถตอบสนองได้ คือ ขั้วไฟฟ้ายคาลิปตัสผสมพาราฟินอัคใส่ปีเปตทีปกับขั้วไฟฟ้า ยคาลิปตัส บริสุทธิ์อัดแท่ง

คำสำคัญ ไม้ยูคาลิปตัส, โวลแทมเมทรี, แกรไฟต์, ตะกั่ว

#### **Abstract**

The purpose of this research is to construct the graphite electrodes from eucalyptus for trace determination of lead by square-wave anodic stripping voltammetric technique. Eucalyptus was carbonized at 400,700 and 1000°C with the holding time of 30 min for each step. The resistivity of the eucalyptus graphite was found to be 3.50  $\Omega$ . The determination of lead using acetate buffer (pH 4.5) on bismuth coated glassy carbon electrodes was examined and showed the oxidation peak potential at -0.5 volts. The peak current of standard solution at the concentration of 0.1, 0.2, 0.3, 0.4, 0.5, 0.6, 0.7 and 0.8 µg/L was found to be 4.00, 10.40, 16.00, 24.00, 46.40, 51.20, 56.00 and 62.40 nA, respectively. Response signals from lead solution of prepared electrodes and glassy carbon electrode were similar. Furthurmore, electrodes made from eucalyptus graphite mixed with paraffin oil compressing into pipette tip and pure eucalyptus graphite compressing into rod shape also showed the similar signals.

Keywords eucalyptus, voltammetry, graphite, lead

#### 1. บทนำ

เทคนิค โวลแทมเมทรี (Voltammetry) เป็นวิธีการวิเคราะห์ทางเคมี ไฟฟ้าที่อาศัยความสัมพันธ์ระหว่างกระแส กับศักย์ ไฟฟ้า (Current-Voltage) มีส่วนประกอบสำคัญ 2 ส่วน คือ ส่วนของเซลล์ ไฟฟ้า และส่วนของ เครื่องมือในการควบคุมสัญญาณไฟฟ้า ซึ่งส่วนของเซลล์ ไฟฟ้าประกอบค้วยขั้ว ไฟฟ้าให้งาน และขั้วไฟฟ้าช่วย หรือร่วม ซึ่งขั้วไฟฟ้าที่มีความสำคัญ คือ ขั้วไฟฟ้าใช้งาน เพราะทำหน้าที่เป็นตัวติคตามหรือตรวจวัคสารที่ สนใจวิเคราะห์ ซึ่งมีหลายประเภท เช่น ขั้วไฟฟ้ากลาสซีคาร์บอน ขั้วไฟฟ้าคาร์บอนไฟเบอร์ ขั้วไฟฟ้าผง การ์บอน ขั้วไฟฟ้าใส้คินสอ ซึ่งขั้วไฟฟ้ากลาสซีคาร์บอนเป็นขั้วไฟฟ้าที่นิยมใช้ เพราะมีความบริสุทธิ์สูง เฉื่อยต่อการเกิดปฏิกิริยาเคมี มีคุณสมบัติเป็นฉนวนไฟฟ้าเมื่อมีความถี่สูงๆ และไม่ทำปฏิกิริยากับเกลือของ อินทรีย์และอนินทรีย์ แต่ขั้วไฟฟ้ากลาสซีคาร์บอนนั้นมีราคาสูง ดังนั้นในงานวิจัยนี้จะใช้ไม้ยูคาลิปตัส เพื่อ สร้างขั้วไฟฟ้า เนื่องด้วยเป็นวัสคุที่มีเนื้อแข็งสามารถนำมาเผาให้เป็นถ่านแกรไฟต์ได้และสามารถนำมาสร้าง เป็นขั้วไฟฟ้าในการตรวจวิเคราะห์โลหะหนักโดยใช้เทคนิคโวลแทมเมทรี

## 2. อุปกรณ์และวิธีการ

## 2.1 เครื่องมือและอุปกรณ์

- 1) เครื่องพิโคสแตท (Picostat) รุ่น e-corder 210 บริษัท eDAQ ผลิตโดยออสเตรเลีย
- 2) เครื่องวัดพีเอช (pH meter) บริษัท Mettler- Toledo.
- 3) เครื่องชั่งถะเอียด (Analytical balance) บริษัท Mettler-Toledo GmbH. รุ่น AG204
- 4) เตาเผา (Furnace) บริษัท Vulcan.
- 5) เครื่องกวนสาร (Stirrer) ยี่ห้อ FAVORIT ผลิตโดยมาเลเซีย
- 6) เครื่องอัลตราโซนิก (Ultrasonic) บริษัท Elma. รุ่น T760 DH.
- 7) กล้องจุลทรรศน์ดิจิตอล (Microscope) ขนาดกำลังขยาย 400 เท่า บริษัท Olympus รุ่น CX31, America
- 8) เครื่องมัลติมิเตอร์ (Multimeter) บริษัท UNI-TREND Group Limit ted รุ่น UT60A, Hong Kong
- 9) เครื่องเอ็กซ์เรย์ ดิฟแฟรคโตมิเตอร์ (X-ray diffraction, XRD) บริษัท Bruker Axs Model D8 Discover, Germany
- 10) เซลล์ไฟฟ้าเคมี (Electrochemical cell)
- 11) ขั้วไฟฟ้าช่วย คือ ขั้วไฟฟ้าแพลทินัม (Pt electrode)

- 12) ขั้วไฟฟ้าใช้งานชนิดต่างๆ
- 13) ขั้วไฟฟ้าอ้างอิง คือ ขั้วไฟฟ้าซิลเวอร์/ซิลเวอร์คลอไรค์ (Ag/AgCl electrode)
- 14) อุปกรณ์และเครื่องแก้วพื้นฐาน

#### 2.2 วิธีการทดลอง

### 2.2.1 การเตรียมวัสด

- 1) ตัดไม้ยุกาลิปตัสให้เป็นทรงกลม เส้นผ่านศูนย์กลางประมาณ 4 เซนติเมตร สูง 2 เซนติเมตร
- 2) นำไม้ยูคาลิปตัสวางใส่เข้าหลอมแก้วแล้วนำทรายกลบให้มิคหนาประมาณ 1 เซนติเมตร
- 3) ตั้งอุณหภูมิเตาเผาให้เสร็จสิ้นในครั้งเคียวก่อนการเผาที่สภาวะ 400, 700 และ 1000 องศาเซลเซียส

## 2.2.2 การศึกษาขนาดอนุภาคของผงถ่านไม้ยูคาลิปตัสเทียบกับผงแกรไฟต์

นำผงถ่านไม้ยคาลิปตัส ผงแกรไฟต์ มาบดในโกร่งแล้วร่อนในตะแกรงร่อน จากนั้นนำมาวัคขนาดอนุภาค ด้วยกล้องจุลทรรศน์คิจิตอล

## 2.2.3 การตรวจสอบโครงสร้างของผงถ่านไม้ยูคาถิปตัสเทียบกับผงแกรไฟต์

นำผงถ่านไม้ยูคาลิปตัส ผงแกรไฟต์ ที่ผ่านการร่อนด้วยตะแกรงส่งตรวจสอบโครงสร้างด้วยเครื่องเอ็กซ์เรย์ ดิฟแฟรคโตมิเตอร์ (XRD)

#### 2.2.4 ศึกษาขั้วไฟฟ้ากลาสซีคาร์บอนเพื่อวิเคราะห์หาโลหะตะกั่ว โดยเทคนิคสแควร์เวฟแอโนดิก สทริปปิงโวลแทมเมทรี (SWASV)

- 1) ทำการวิเคราะห์ด้วยเทคนิคสแควร์เวฟแอโนดิกสทริปปิงโวลแทมเมทรีโดยใช้ขั้วไฟฟ้า glassy carbon electrode วัดสัญญาณที่ได้จากสารละลายบิสมัธเข้มข้น 2 พีพีเอ็ม ในสารละลายอะซิตริกบัฟเฟอร์ 0.1 M (pH 4.5) สารละลายมาตรฐานตะกั่ว ที่ระดับความเข้มข้น 0.0, 0.1, 0.2, 0.3, 0.4, 0.5, 0.6, 0.7 และ 0.8 พีพีบี ตามลำดับ โดยทำการเดพโพสิตสารที่ค่าศักย์ไฟฟ้า -1.4 โวลต์ เป็นเวลา 120 วินาที และสแกนจากค่าศักย์ไฟฟ้า -1.4 ถึง 0.3 โวลต์ บันทึกผลการวิเคราะห์ที่ได้
  - 2) เปลี่ยนขั้วไฟฟ้าใช้งานจาก glassy carbon electrode เป็นขั้วไฟฟ้าใช้งานที่สร้างขึ้น
- 3) นำข้อมูลที่ได้มาสร้างกราฟมาตรฐานแสดงความสัมพันธ์ระหว่างความสูงของพีกและ ความเข้มข้น ของสารละลายมาตรฐานตะกั่ว

## 2.2.5 การเตรียมขั้วไฟฟ้าใช้งาน

1) การเตรียมขั้วไฟฟ้าผงแกรไฟต์เทียบกับผงถ่านไม้ยูกาลิปตัสโดยอัดขึ้นรูป

ชั่งผงแกรไฟต์ ผงถ่านไม้ยคาลิปตัส หนัก 1.00 g ลงในโกร่งบค บคให้ละเอียค จากนั้นทำการอัคผง ถ่านไม้ยูคาลิปตัสและผงแกรไฟต์บริสุทธิ์ ผสมน้ำมันพาราฟิน และผสมดินเหนียว โดยอัดด้วยเครื่องอัด จากนั้นนำไปอัดด้วยเครื่องอบที่อุณหภูมิ 100 องศาเซลเซียส เป็นเวลา 1 ชั่วโมง และหุ้มด้วยแผ่นพาราฟิล์ม

สภาวะที่เผา		ลักษณะของถ่านหลังการเผา	ค่าความต้านทานไฟฟ้า(Ω)	
	1000°C 700°C R <sub>3</sub> 1/2 นาที 400°C R <sub>3</sub> 8 % ชม.	ได้ถ่านสีดำเข็ม เป็นก้อนแข็ง แต่ เล็กกว่าเดิม ทรายที่ใช้กลบเป็น สีแดงล้ม	3.50	

ตารางที่ 1 สภาวะที่เหมาะสมในการเตรียมผงถ่านจากไม้ยูคาลิปตัส

หมายเหตุ ค่า  $R_1 = 4$ °C/min,  $R_2 = 12$ °C/min,  $R_3 = 12$ °C/min

ที่เสียบลวดทองแดงที่ขัดแล้ว ให้เหลือส่วนที่เป็นผิวหน้าขั้วไฟฟ้า แล้วนำประกอบเข้ากับเซลล์ และ วัดสัญญาณทางเคมีไฟฟ้าที่ค่าศักย์ไฟฟ้า 1.4 ถึง 0.3 โวลต์ แล้วบันทึกผลการวิเคราะห์ได้

2) การเตรียมขั้วไฟฟ้าผงถ่านไม้ยูกาลิปตัสเทียบกับผงแกรไฟต์โดยการอัดใส่ปีเปตทิป

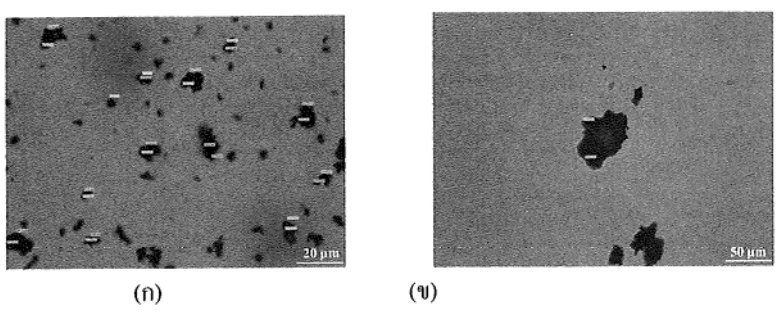
ทำการบรรจุผงถ่านไม้ยูคาลิปตัส ผงแกรไฟต์บริสุทธิ์และผสมน้ำมันพาราฟิน ใส่ในปีเปตทิปอัด ให้แน่นเสียบลวดทองแคงที่ขัดแล้วลงไป ปิดส่วนบนด้วยพาราฟิล์ม นำไปประกอบเข้ากับเซลล์ และวัด สัญญาณทางเคมีไฟฟ้าที่ค่าศักย์ไฟฟ้า -1.4 ถึง 0.3 โวลต์ บันทึกผลการวิเคราะห์

#### 3. ผลการทดลอง

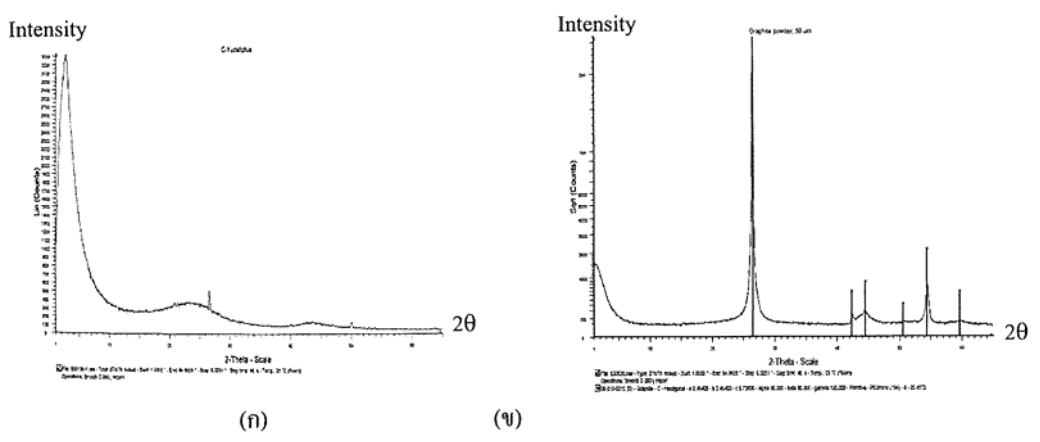
จากการศึกษาการเตรียมไม้ยูคาลิปตัสเพื่อเป็นขั้วไฟฟ้าใช้งานโดยศึกษาการเผาที่อุณหภูมิต่างๆ และได้สภาวะ ที่เหมาะสมดังแสดงในตารางที่ 1 ซึ่งเมื่อวัดก่าความต้านทานมีค่าน้อยที่สุด จากการศึกษาการวัดขนาดของผง ถ่านไม้ยูคาลิปตัสเปรียบเทียบกับผงแกรไฟต์นั้น จากภาพที่ 1 พบว่าขนาดอนุภาคของถ่านยูคาลิปตัสกับผง แกรไฟต์มีขนาดใกล้เคียงกัน แต่อนุภาคของถ่านยูคาลิปตัสมีสีดำ ค่อนข้างใหญ่กว่าผงแกรไฟต์ และมีขนาด อนุภาคประมาณ 50 ไมโครเมตร ซึ่งใกล้เคียงกับขนาดของแกรไฟต์ และผลการตรวจสอบโครงสร้างทางเคมี ของผงถ่านยูคาลิปตัสและผงแกรไฟต์มีโครงสร้างที่คล้ายกัน แต่โครงสร้างของแกรไฟต์มีความเป็น โครงผลึกมากกว่าผงถ่านยูคาลิปตัส ดังแสดงในภาพที่ 2

เมื่อนำผงถ่านไม้ยูกาลิปตัสที่ได้มาวิเคราะห์โครงสร้างด้วยเครื่อง XRD เทียบกับโครงสร้างผลึกของ ผงแกรไฟต์ที่แกน 20 มี 1 ตำแหน่งที่มีค่าตรงกับผลึกคือ ตำแหน่ง 26.4733 ดังภาพที่ 2

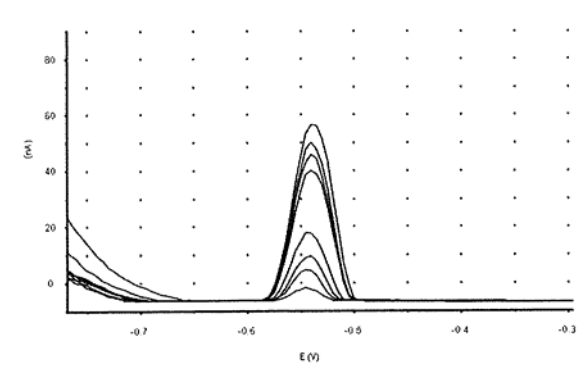
การศึกษาขั้วไฟฟ้ากลาสซีคาร์บอนเพื่อวิเคราะห์หาโลหะตะกั่วโดยเทคนิคสแควร์เวฟแอโนดิกสทริปปิง โวลแทมเมทรี โดยการเติมสารละลายมาตรฐานตะกั่วที่มีความเข้มข้น 0.1, 0.2, 0.3, 0.4, 0.5, 0.6, 0.7, 0.8 ไมโครกรัมต่อลิตร ตามลำดับ ลงในสารละลายอะซิตริกบัฟเฟอร์ ความเข้มข้น 0.1 โมลาร์ pH 4.5 ซึ่งวัด สัญญาณทางเคมีไฟฟ้าที่ -1.4 โวลต์ ถึง 0.3 โวลต์ ใช้บิสมัธในการเคลือบขั้วไฟฟ้า ผลการวิเคราะห์ดังภาพที่ 3



ภาพที่ 1 ขนาดอนุภาคของวัสดุ (ก) ผงถ่านยูคาลิปตัส และ (ข) ผงแกรไฟต์



ภาพที่ 2 รูปแบบ XRD ของวัสคุ (ก) ผงถ่าน ไม้ยูกาลิปตัส และ (ข) ผงแกร ไฟต์



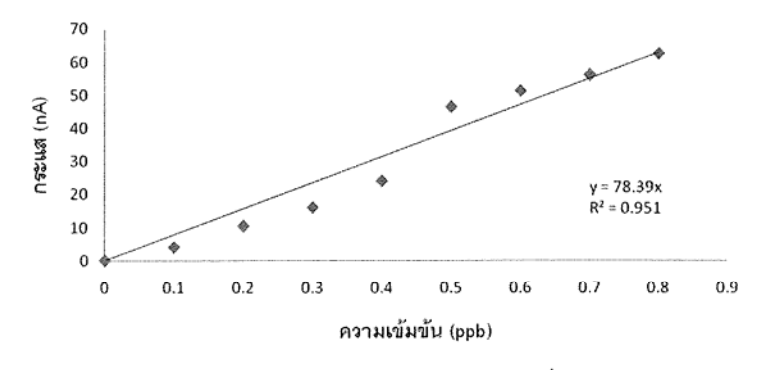
ภาพที่ 3 โวลแทม โมแกรมมาตรฐานแสดงการวิเคราะห์หาปริมาณตะกั่วด้วยเครื่องพิโคสแตท

เมื่อนำความสูงของพีคที่ได้จากโวลแทมโมแกรมของสารละลายมาตรฐานตะกั่วมาเทียบกับความเข้มข้น จะได้ผลตามตารางที่ 2 และเขียนกราฟความสัมพันธ์ระหว่างความเข้มข้นของสารมาตรฐานกับกระแสที่ได้ ได้เป็นกราฟมาตรฐานของตะกั่วในสารละลายอะซิเตตบัฟเฟอร์ pH 4.5 ด้วยวิธี SWASV โดยใช้ขั้วไฟฟ้า ใช้งานเคลือบบิสมัธ ดังภาพที่ 4

ตารางที่ 2 แสดงการวิเคราะห์หาปริมาณตะกั่วด้วยเครื่องพิโคสแตท

ความเข้มข้น (ppb)	กระแส (nA)
0.10	4.00
0.20	10.40
0.30	16.00
0.40	24.00
0.50	46.40
0.60	51.20
0.70	56.00
0.80	62.40

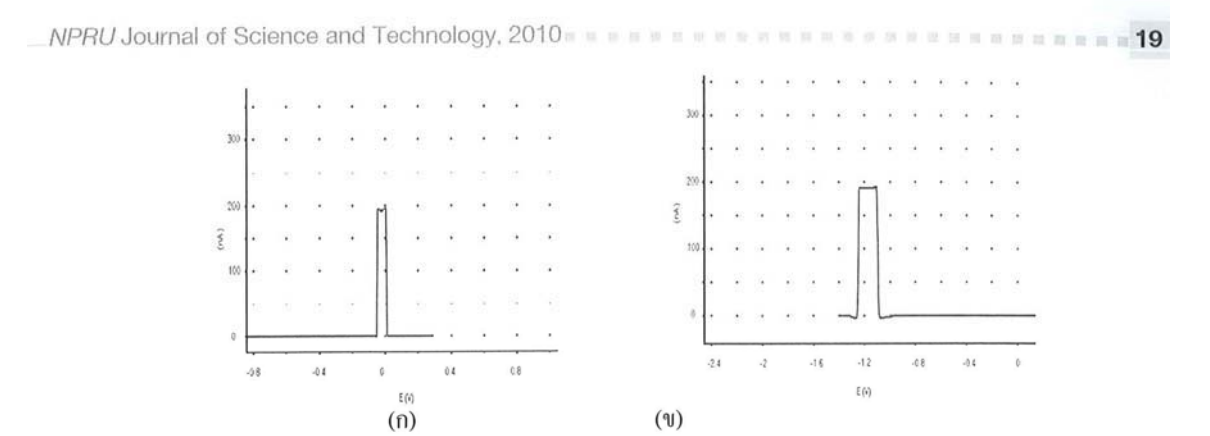
กราฟมาตรฐาน Pb+ ในสารละลายอะซิตริกบัฟเฟอร์ pH 4.5 ด้วยวิธี SWASV โดยใช้ BiFE เป็นขั่วไฟฟ้าใช้งาน



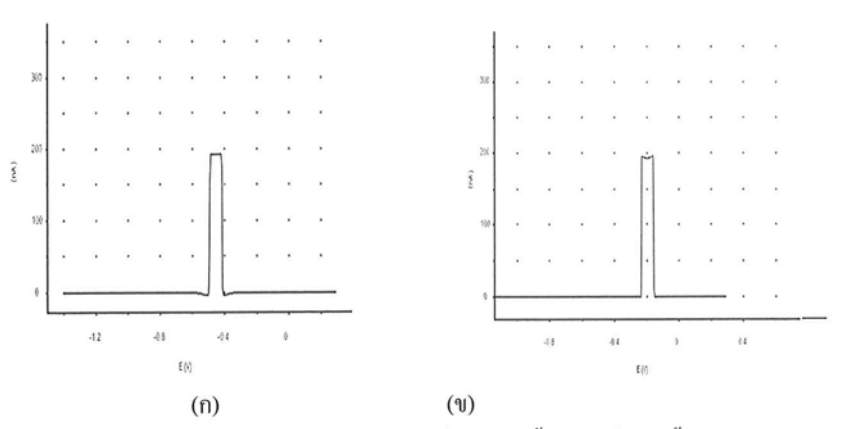
ภาพที่ 4 กราฟมาตรฐานแสดงความสัมพันธ์ของกระแสกับความเข้มข้นของตะกั่ว ในสารละลายอะซิตริกบัฟเฟอร์ pH 4.5

ภาพแสดงโวลแทมโมแกรมของขั้วไฟฟ้าผงถ่านยูคาลิปตัสเทียบกับผงแกรไฟต์โดยการใช้ตัวประสานและ ลักษณะที่อัดขึ้นรูปต่างกัน นำไปประกอบเข้ากับเซลล์ และวัดสัญญาณทางเคมีไฟฟ้าที่ค่าศักย์ไฟฟ้า -1.4 ถึง 0.3 โวลต์ แสดงดังภาพที่ 5 – 10

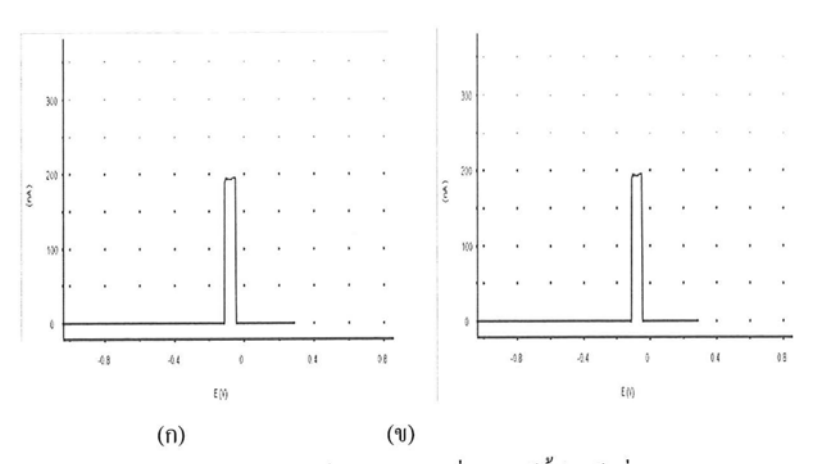
ผลการวิเคราะห์หาโลหะตะกั่วด้วยเทคนิคสแควร์เวฟแอโนดิกสทริปปิงโวลแทมเมทรี โดยใช้ขั้วไฟฟ้า กลาสซีคาร์บอน และขั้วไฟฟ้าที่สร้างขึ้นแสดงดังภาพที่ 5-10 พบว่าขั้วไฟฟ้ายูคาลิปตัสผสมพาราฟิน อัดใส่ปิเปตทิปกับขั้วไฟฟ้ายูคาลิปตัสบริสุทธิ์อัคแท่งมีการตอบสนองของขั้วไฟฟ้าในสารละลายตะกั่ว โดย ให้ศักย์ไฟฟ้า -0.4 V ซึ่งมีค่าใกล้เคียงกับสัญญาณกระแสไฟฟ้าของขั้วไฟฟ้ากลาสซีคาร์บอนค่าศักย์ไฟฟ้า -0.5 โวลต์



ภาพที่ 5 โวลแทมโมแกรมของการวิเคราะห์หาปริมาณตะกั่วโคยใช้ขั้วไฟฟ้าที่อัคปีเปตทิป
(ก) ผงถ่านไม้ยูกาลิปตัส และ (ข) ผงแกรไฟต์

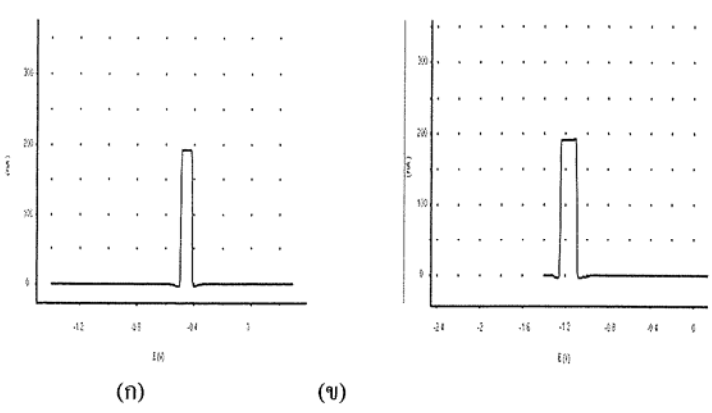


ภาพที่ 6 โวลแทมโมแกรมของการวิเคราะห์หาปริบาณตะกั่วโดยใช้ขั้วไฟฟ้าที่ผสมน้ำมันพาราฟินอัดปีเปตทิป
(ก) ผงถ่านไม้ยูคาลิปตัส และ (ข) ผงแกรไฟต์

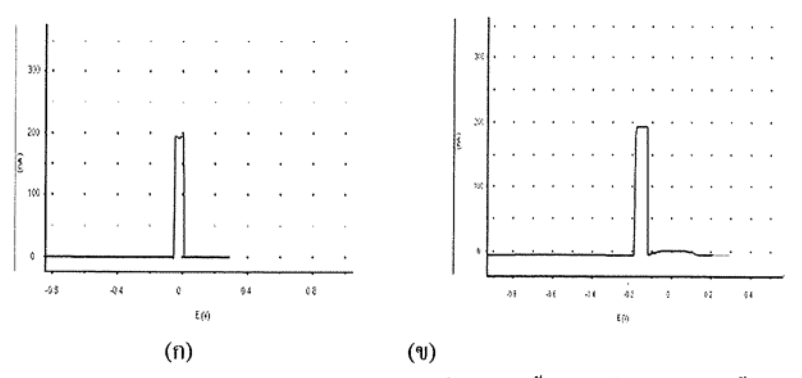


ภาพที่ 7 โวลแทมโมแกรมของการวิเคราะห์หาปริมาณตะกั่วโดยใช้ขั้วไฟฟ้าที่อัดปีเปตทิปผสมดินเหนียว (ก) ผงถ่านไม้ยูกาลิปตัส และ (ข) ผงแกรไฟต์

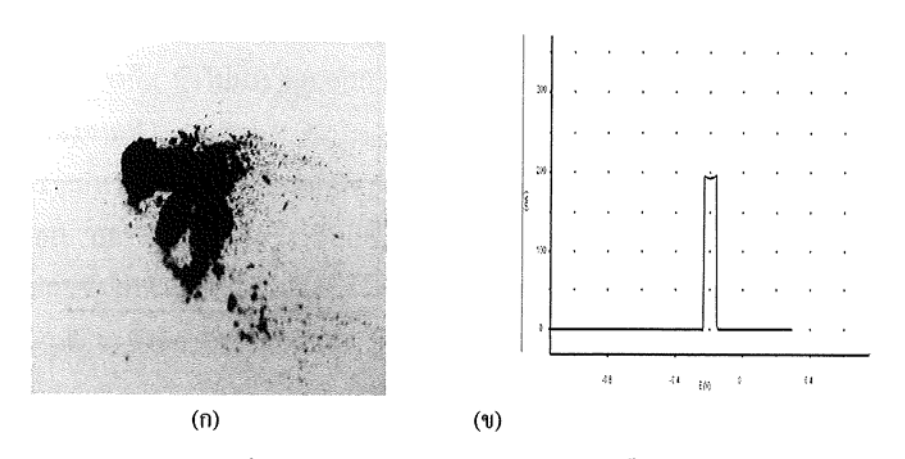




ภาพที่ 8 โวลแทม โมแกรมของการวิเคราะห์หาปริมาณตะกั่วโคยใช้ขั้วไฟฟ้าที่อัดแท่ง (ก) ผงถ่านไม้ยูกาลิปตัส และ (ข) ผงแกรไฟต์



ภาพที่ 9 โวลแทมโมแกรมของการวิเคราะห์หาปริมาณตะกั่วโดยใช้ขั้วไฟฟ้าที่อัดแท่งผสมน้ำมันพาราฟิน (ก) ผงถ่านไม้ยูคาลิปตัส และ (ข) ผงแกรไฟต์



ภาพที่ 10 (ก) ผงถ่านไม้ยูกาลิปตัสที่ไม่สามารถขึ้นรูปได้ (ข) โวลแทมโมแกรมของการวิเคราะห์หาปริมาณตะกั่วโดยใช้ขั้วไฟฟ้าผงแกรไฟต์อัดแท่งผสมดินเหนียว

## 4. สรุปผลการทดลอง

จากการทดลองวัดขนาดของผงถ่านจากการศึกษาเปรียบเทียบประสิทธิภาพการทำงานของขั้วไฟฟ้ากลาสซี-คาร์บอนกับขั้วไฟฟ้าถ่านไม้ยูคาลิปตัส พบว่าขั้วไฟฟ้าถ่านไม้ยูคาลิปตัสสามารถขึ้นรูปได้ การวิเคราะห์ สัญญาณกระแสไฟฟ้าโดยใช้ขั้วไฟฟ้าที่เตรียมขึ้นพบว่า มีการตอบสนองของขั้วไฟฟ้าในสารละลาย ตะกั่วที่มีค่าใกล้เคียงกับสัญญาณกระแสไฟฟ้าของขั้วไฟฟ้ากลาสซีคาร์บอน และขั้วไฟฟ้าที่สามารถ ตอบสนองได้คือ ขั้วไฟฟ้ายูคาลิปตัสผสมพาราฟินอัดใส่ปีเปตทิป กับขั้วไฟฟ้ายูคาลิปตัสบริสุทธิ์อัดแท่ง

#### 5. กิตติกรรมประกาศ

ขอขอบคุณสถาบันวิจัยและพัฒนา มหาวิทยาลัยราชภัฏนครปฐม ที่ให้ทุนสนับสนุนการวิจัย

### 6. เอกสารอ้างอิง

- [1] ณัฐวิกา ดาวเรื่อง. การพัฒนาวิธีการวิเคราะห์หาโลหะตะกั่วปริมาณน้อยโดยวิธีสแควร์เวฟแอโนดิกสทริปปิง โวลแทมเมทรี. ปริญญาวิทยาศาสตรบัณฑิต. มหาวิทยาลัยราชภัฏนครปฐม, นครปฐม, 2551.
- [2] วิจิตรา เดือนฉายและคณะ. การหาปริมาณโลหะโดยเทคนิคซีเคว็นเชียลอินเจกชันแอโนดิกสทริปปิง โวลแทมเมทรีที่ใช้ขั้วไฟฟ้าบิสมัตฟิล์มคาร์บอนพิมพ์สกรีน. คณะวิทยาศาสตร์ จุฬาลงกรณ์มหาวิทยาลัย, กรุงเทพ 4.
- [3] อรวรรณ ชัยลภากุล. การประยุกต์ใช้ขั้วไฟฟ้าฟิล์มบางโบรอนโดปไดมอนด์สำหรับการหาปริมาณ สารประกอบอินทรีย์. แหล่งที่มา http://www.research.chula.ac.th
- [4] ศดานันท์ อัสสาไพร. การวิเคราะห์หาแคดเมียมปริมาณน้อยโดยวิธีสแควร์เวฟแอโนดิกสทริปปิง โวลแทมเมทรี. ปริญญาวิทยาศาสตรบัณฑิต. มหาวิทยาลัยราชภัฏนครปฐม, นครปฐม, 2551.
- [5] ทองพูล วรรณ โพธิ์. ไม้ป่าเศรษฐกิจ. กรุงเทพ ๆ, 2545.
- [6] ณัฏฐิยา รักฝึกฝนและทยานิจ เพ็ชรสีม่วง. การพัฒนาขั้วไฟฟ้าฟิล์มบิสมัทสำหรับตรวจวัด โลหะหนักใน เครื่องสำอาง. ปริญญาวิทยาศาสตรบัณฑิต. จุฬาลงกรณ์มหาวิทยาลัย, กรุงเทพ ฯ, 2550.
- [7] Kumar, M. and Gupta, R.C., J. Mat. Sci. Vol. 28; 440, 1993.

## การเปรียบเทียบประสิทธิภาพการทำงานของขั้วไฟฟ้า กลาสซีคาร์บอนกับขั้วไฟฟ้าถ่านไม้ไผ่

# Comparison between the Efficiency of Glassy Carbon and Bamboo Charcoal Electrodes

กาญจนา โพธิ์เย็น, ธันยนันท์ ศรีพันธ์ลมม สมปอง ทองงามคี และสุวิมล เรื่องศรี\*

โปรแกรมวิชาเคมี คณะวิทยาศาสตร์และเทคโนโลยี มหาวิทยาลัยราชภัฏนครปฐม

#### บทคัดย่อ

งานวิจัยนี้ศึกษาเปรียบเทียบประสิทธิภาพการทำงานของขั้วไฟฟ้ากลาสซีคาร์บอนกับขั้วไฟฟ้าถ่านไม้ไผ่โดยเริ่มจากการเผาไม้ไผ่ให้เป็นถ่านที่นำไฟฟ้าได้ พบว่าสภาวะที่เหมาะสมในการเผาไม้ไผ่ให้เป็นถ่านที่ ความด้านทานไฟฟ้าน้อยที่สุด คือ เผาที่อุณหภูมิ 30 – 400 °C , 400 – 700 °C และเผาต่อที่อุณหภูมิ 700 – 1000 °C ทิ้งไว้ที่อุณหภูมิ 400,700 และ 1000 °C เป็นเวลา 30 นาที ได้ค่าความด้านทานไฟฟ้าเท่ากับ 1.5  $\Omega$  แล้วนำมาอัดขึ้นรูปเพื่อผลิตเป็นขั้วไฟฟ้า และศึกษาการใช้งานขั้วไฟฟ้าที่ผลิตขึ้นเทียบกับขั้วไฟฟ้ากลาสซีคาร์บอนเพื่อวิเคราะห์หาปริมาณ โลหะตะกั่ว โดยเทคนิคสแควร์เวฟแอโน-ดิกสริปปิงโวลแทมเมทรี พบว่า ขั้วไฟฟ้ากลาสซีคาร์บอนให้สัญญาณในการตรวจวัดโลหะตะกั่วในสารละลายมาตรฐาน ที่ – 0.52 V (scan จาก - 1.4 ถึง 0.3 V เดพโพสิตสารที่ 120 วินาที) ที่ความเข้มข้น 0, 0.3, 0.6, 0.9 และ 1.1 ppb ให้ค่า กระแสไฟฟ้า 0, 24, 70.4, 134.4 และ 174.4 กA ตามลำดับ มีความสัมพันธ์เป็นเส้นตรง ( $R^2 = 0.9588$ ) ส่วน ขั้วไฟฟ้าจากถ่านไม้ไผ่ให้สัญญาณตอบสนองต่อสารละลายมาตรฐานตะกั่ว คำสำคัญ ถ่านไม้ไผ่, โวลแทมเมทรี, ขั้วไฟฟ้ากลาสซีคาร์บอน, ตะกั่ว

#### Abstract

In this research, the efficiency of glassy carbon and bamboo charcoal electrodes was studied and compared. The suitable carbonizing condition was starting at 30 to 400 °C, raising up to 700 °C and up to 1000 °C holding time at each step for 30 minutes. The electrical resistivity measured at suitable carbonizing condition was 1.5  $\Omega$ . The efficiencies of glassy carbon and bamboo charcoal electrode were studied by analyzing of trace lead with square wave anodic stripping voltammetric technique. It was found that, glassy carbon electrode offered the signal to lead (II) standard solution at -0.52 V (scan from -1.4 to 0.3 V, deposition time at 120 second). The current at the concentration of 0, 0.3, 0.6, 0.9 and 1.1 ppb were 0, 24, 70.4, 134.4 and 174.4 nA, respectively. The linear relationship between lead concentration and response current wasobtained. ( $R^2 = 0.9588$ ). Accordingly, the electrodes produced from bamboo charcoal detected some signals to lead (II) standard solution.

Keywords Bamboo charcoal, Voltammetry, Glassy carbon electrode, Lead

#### 1. บทนำ

โลหะหนัก [1] คือธาตุแทรนซิชันที่มีความถ่วงจำเพาะมากกว่า 4 ได้แก่ ตะกั่ว , ปรอท, แคดเมียม และ โครเมียม เป็นต้น โลหะหนักเหล่านี้มักพบและปนเปื้อนในสิ่งแวคล้อม ซึ่งวิธีในการวิเคราะห์หาโลหะหนัก มีหลายวิธี เช่น การใช้เทคนิค Atomic Absorption Spectrometer (AAS), Ultraviolet and Visible Spectroscopy (UV-Vis) และอีกเทคนิคหนึ่งที่นิยมใช้วิเคราะห์หาปริมาณโลหะหนัก คือ เทคนิคโวลแทม-เมทรี [2] (Voltammetry) ซึ่งเป็นวิธีการวิเคราะห์ทางเคมีไฟฟ้าที่อาศัยความสัมพันธ์ระหว่างกระแสกับ ศักย์ไฟฟ้า (Current – Voltage) โดยการเปลี่ยนแปลงศักย์ไฟฟ้าที่ให้แก่ขั้วทำงานที่มีพื้นผิวคงที่ขนาดเล็ก มีผลทำให้เกิดการเปลี่ยนแปลงกระแสไฟฟ้าขึ้นที่ขั้วไฟฟ้า [3] เทคนิคโวลแทมเมทรี มีส่วนประกอบสำคัญ 2 ส่วน คือ ส่วนของเซลล์ไฟฟ้า และส่วนของเครื่องมือในการควบคุมสัญญาณไฟฟ้า ประกอบค้วยขั้วไฟฟ้า และสารละลายอิเล็กโทรไลต์ ขั้วไฟฟ้าในการทำโวลแทมเมทรี มักประกอบค้วย ขั้วไฟฟ้าอ้างอิง ขั้วไฟฟ้าใช้งาน และขั้วไฟฟ้าช่วยหรือร่วม ขั้วไฟฟ้าที่มีความสำคัญ คือ ขั้วไฟฟ้าใช้งาน [4] เพราะทำหน้าที่เป็นตัวติดตามหรือตรวจวัดสารที่สนใจวิเคราะห์ ขั้วไฟฟ้ากลาสซีคาร์บอนเป็นขั้วไฟฟ้า ที่นิยมใช้ เนื่องจากเป็นขั้วไฟฟ้าที่มีพื้นผิวของคาร์บอนคล้ายแก้ว หรือที่เรียกว่า glassy ซึ่งจะต้องขัดให้มี ความเงางามก่อนการใช้งาน ขั้วไฟฟ้านี้ถูกนำมาใช้ในเทคนิคโวลแทมเมทรีเพื่อการวิเคราะห์แบบสทริปปิง analysis) ลักษณะที่สำคัญของขั้วไฟฟ้ากลาสซีการ์บอน คือ มีความบริสุทธิ์สูง เลื่อยต่อ การเกิดปฏิกิริยาเคมี มีเสถียรภาพสูง มีสมบัติเป็นฉนวนไฟฟ้าเมื่อความถี่สูงๆ และไม่ทำปฏิกิริยากับเกลือ ของอินทรีย์และอนินทรีย์ นอกจากขั้วไฟฟ้าใช้งานกลาสซีคาร์บอนแล้ว ขั้วไฟฟ้าใช้งานที่นิยมใช้ ได้แก่ ขั้วไฟฟ้าผงการ์บอน และขั้วไฟฟ้าใส้ดินสอ เนื่องจากเป็นขั้วไฟฟ้าที่สามารถผลิตขึ้นใช้เองได้ มีข้อดีคือ ใช้งานได้ง่าย ราคาไม่แพง สามารถใช้แล้วทิ้งได้ ความสามารถในการตรวจวิเคราะห์สูง [2] ทำให้มีการคิด ประดิษฐ์ขั้วไฟฟ้าที่มีคุณสมบัติการใช้งานได้เทียบเท่ากับขั้วไฟฟ้าที่ใช้กันในปัจจุบัน

ผู้วิจัยจึงสนใจที่จะสร้างขั้วไฟฟ้าจากวัสคุธรรมชาติ คือ ถ่านไม้ไผ่ ซึ่งหาได้ง่ายในท้องถิ่น โดยในงานวิจัย จะนำไม้ไผ่ มาเผาให้เป็นถ่านแล้วบด ได้ผงถ่านที่มีลักษณะคล้ายผงแกรไฟต์ [5] สามารถนำมาใช้เป็น ขั้วไฟฟ้าในการตรวจวิเคราะห์โลหะหนัก โดยใช้เทคนิคโวลแทมเมทรี และทดสอบการตรวจวัดโลหะหนัก เพื่อทำการเปรียบเทียบประสิทธิภาพการทำงานของขั้วไฟฟ้ากลาสซีคาร์บอนกับขั้วไฟฟ้าที่สร้างขึ้น

## 2. อุปกรณ์และวิธีการทดลอง

## 2.1 เครื่องมือและอุปกรณ์

- 1. เครื่องพิโคสแตท (Potentiostat) บริษัท EDAQ รุ่น e corder 210
- 2. เตาเผา (Furnace) บริษัท Vulcan
- 3. มัลติมิเตอร์ (Multimeters) บริษัท UNI TREND Group Limited รุ่น UT60A

- 4. กล้องจุลทรรศน์ดิจิตัล บริษัท Olympus รุ่น CX 31
- 5. เครื่อง X-Ray Diffractometer (XRD) บริษัท Bruker AXS Model D8 Discover
- 6. เซลล์ไฟฟ้าเคมี (Electrochemical cell)
- 7. ขั้วไฟฟ้าใช้งาน 2 ชนิดคือ
  - 7.1 ขั้วไฟฟ้ากลาสซีคาร์บอน (Glassy carbon electrode)
  - 7.2 ขั้วไฟฟ้าไม้ไผ่ที่พัฒนาขึ้น (Bamboo electrode)
- 8. ขั้วไฟฟ้าอ้างอิงชนิดซิลเวอร์/ซิลเวอร์คลอไรค์ (Ag/AgCl electrode)
- 9. ขั้วไฟฟ้าร่วมชนิดแพลทินัม (Pt electrode)

#### 2.2 สารเคมี

- 1. สารละลายมาตรฐานตะกั่ว (lead (II) nitrate standard solution) ความเข้มข้น 1000 ppm
- 2. สารละลาขมาตรฐานบิสมัช (Bismuth standard solution) ความเข้มขั้น 1000 ppm

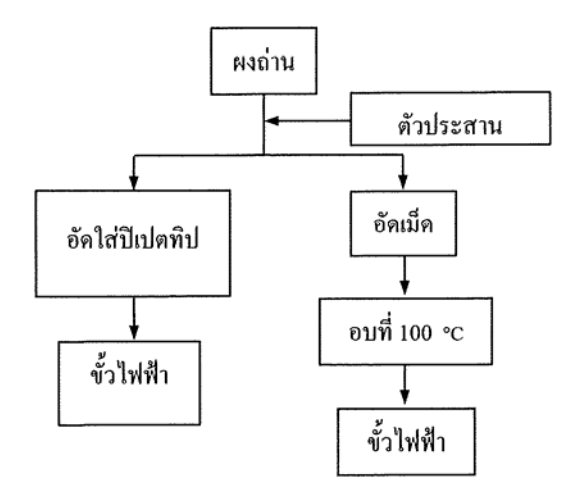
#### 2.3 วิธีการทดลอง

## 2.3.1 การศึกษาสภาวะที่เหมาะสมในการเผาและลักษณะทางกายภาพของวัสดุ

- 1.1 นำไม้ใผ่มาตัดให้มีขนาดประมาณ 12 cm² สูงประมาณ 1 cm นำมาเผาในลักษณะอับอากาศที่อุณหภูมิ ต่าง ๆ เพื่อหาสภาวะที่เหมาะสม
  - 1.2 นำผงถ่านไม้ไผ่ มาบดและร่อน ศึกษาขนาดและรูปร่างของอนุภาคด้วยกล้องจุลทรรศน์ดิจิตัล
  - 1.3 ส่งตรวจสอบโครงสร้างด้วยเครื่อง X-Ray Diffractometer (XRD)

## 2.2.2 การขึ้นรูปวัสดุ

การขึ้นรูปวัสคุมี 2 วิธีคือ ขึ้นรูปโดยการอัดใส่ปีเปตทิป และการอัดเม็ดด้วยเครื่องอัด



#### หมายเหตุ

- 1. ผงถ่านที่ใช้คือผงถ่านไม้ไผ่
- 2. อาจมีการใช้ตัวประสานในกรณีที่ไม่สามารถขึ้นรูปตัวอย่างผงถ่านบริสุทธิ์ได้
- 3. ตัวประสานที่ใช้คือ พาราฟิน และดินเหนียว
- 4. หลังจากขึ้นรูปวัสดุแล้ว ทำการเสียบลวดทองแดง และพันด้วยพาราฟิล์ม เพื่อนำไปใช้เป็นขั้วไฟฟ้า

## 2.2.3 การวิเคราะห์โลหะตะกั่ว โดยเทคนิคแควร์เวฟแอโนดิกสทริปปิงโวลแทมเมทรี

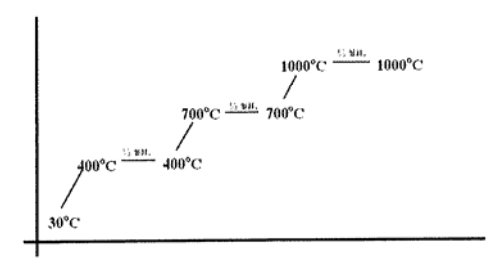
- 3.1 ใช้ขั้วไฟฟ้ากลาสซีคาร์บอน วิเคราะห์สารละลายมาตรฐานตะกั่ว ที่ระดับความเข้มข้น 0, 0.3, 0.6, 0.9 และ 1.1 ppb ตามลำดับ โดยทำการเดพโพสิตสารที่ค่าศักย์ไฟฟ้า -1.4 V เป็นเวลา 120 วินาที และสแกนจาก ค่าศักย์ไฟฟ้า -1.4 ถึง 0.3 V บันทึกผลการวิเคราะห์ที่ได้
  - 3.2 เปลี่ยนขั้วไฟฟ้าใช้งานจาก glassy carbon electrode เป็นขั้วไฟฟ้าใช้งานที่พัฒนาขึ้น
  - 3.3 บันทึกและวิเคราะห์ผลการทดลอง

#### 3. ผลการทดลอง

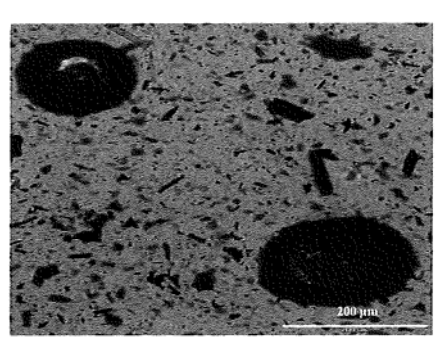
## 3.1 การหาสภาวะที่เหมาะสมในการเผา และลักษณะทางกายภาพของวัสดุ

จากการศึกษาสภาวะที่เหมาะสมที่ใช้ในการเผาไม้ไผ่ในลักษณะอับอากาศ ให้มีค่าความต้านทานต่ำที่สุดคือ การเผาในสภาวะดังภาพที่ 1 ซึ่งให้ค่าความต้านไฟฟ้าที่ 1.5 Ω

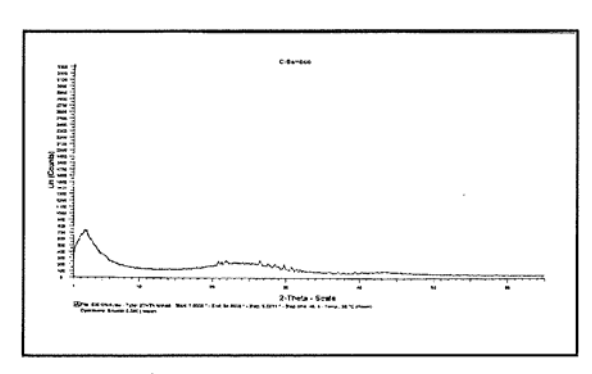
ภาพที่ 2 แสดงขนาดของผงถ่านไม้ใผ่ ถ่ายด้วยกล้องจุลทรรศน์ดิจิตัลกำลังขยาย 400 เท่า จากภาพพบว่า ผงถ่านไม้ใผ่มีรูปร่างกลม มีขนาดเฉลี่ย 200.16 µm และภาพที่ 3 แสดงโครงสร้างของผงถ่านไม้ใผ่ โดยการ ตรวจสอบด้วยเครื่อง XRD ผลการตรวจสอบโครงสร้างแสดงดังภาพที่ 3



ภาพที่ 1 สภาวะที่เหมาะสมในการเตรียมผงถ่านจากไม้ไผ่



ภาพที่ 2 การวัคขนาดอนุภาคของผงถ่านไม่ไผ่ด้วยกล้องจุลทรรศน์ดิจิตัล



ภาพที่ 3 คิฟแฟรกโทแกรมของผงถ่านไม้ไผ่

## 3.2 การขึ้นรูปวัสดุ

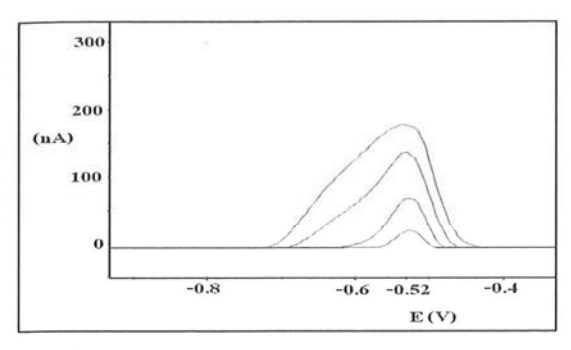
จากการขึ้นรูปวัสดุ โดยการอัดใส่ปีเปตทิป และการอัดเม็ด ทั้งผงถ่านบริสุทธิ์ ผงถ่านที่ใช้พาราฟิน และผงถ่าน ที่ใช้ดินเหนียวเป็นตัวประสานพบว่า การขึ้นรูปโดยการอัดใส่ปีเปตทิปสามารถทำได้ทุกตัวอย่าง แต่การ ขึ้นรูปโดยการอัดเม็ดสามารถขึ้นรูปได้เฉพาะผงถ่านไม้ไผ่ผสมดินเหนียวเท่านั้น

## 3.3 การวิเคราะห์โลหะตะกั่ว โดยเทคนิคสแควร์เวฟแอโนดิกสทริปปิงโวลแทมเมทรี

1) การวิเคราะห์โลหะตะกั่วโดยใช้ขั้วไฟฟ้ากลาสซีคาร์บอนเป็นขั้วไฟฟ้าใช้งาน ได้ผลการทดลองดังภาพที่ 4-5 และตารางที่ 1

ตารางที่ 1 ความเข้มข้นของโลหะตะกั่วและปริมาณกระแสที่วัดได้จากเทกนิคสแควร์เวฟแอโนดิกสทริปปิงโวณเทมเมทรี

ความเข้มข้นของโลหะตะกั่ว (ppb)	กระแส (nA)
0	0.0
0.3	24
0.6	70.4
0.9	134.4
1.1	174.4

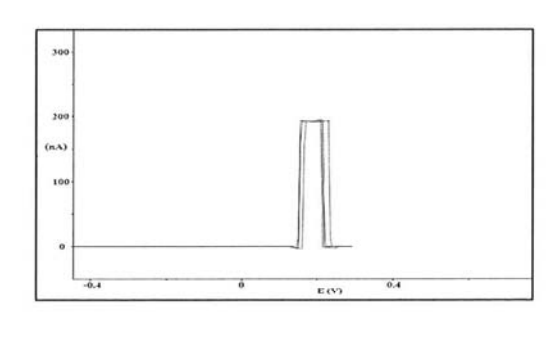


160 140 100

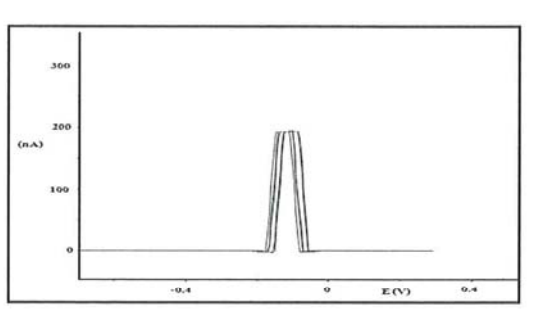
ภาพที่ 4 โวลแทมโมแกรมของการวิเคราะห์สารละลายตะกั่ว มาตรฐานโดยขั้วไฟฟ้าใช้งานกลาสซีคาร์บอน

ภาพที่ 5 กราฟมาตรฐานของสารละลายตะกั่ว

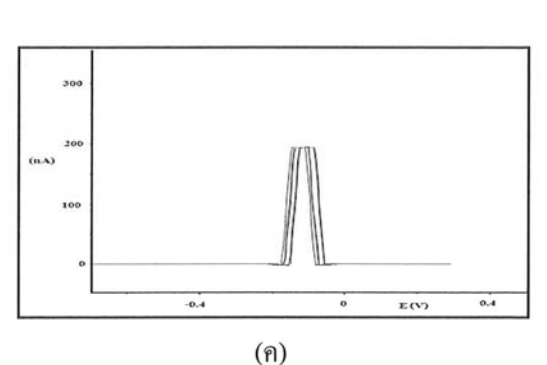
การวิเคราะห์โลหะตะกั่วโดยใช้ขั้วไฟฟ้าถ่านไม้ไผ่เป็นขั้วไฟฟ้าใช้งาน ได้ผลการทดลอง ดังภาพที่ 6 (ก)-(ค)



(n)



(1)



ภาพที่ 6 โวลแทมโมแกรมของสารมาตรฐานตะกั่ว ความเข้มข้น 0.1, 0.2, 0.3, 0.4 และ 0.5 ppb เมื่อใช้

- (ก) ขั้วไฟฟ้าผงถ่านไม้ไผ่ผสมดินเหนียว ขึ้นรูปโดยการอัดเม็ด
- (ข) ขั้วไฟฟ้าผงถ่านไม้ไผ่บริสุทธิ์ขึ้นรูปโดยการอัดใส่ปีเปตทิป
- (ก) ขั้วไฟฟ้าผงถ่านไม้ไผ่ผสมพาราฟินขึ้นรูปโดยการอัดใส่ปีเปตทิป

## 4. สรุปผลการทดลอง

จากการศึกษาสภาวะที่เหมาะสมในการเผาให้ได้ถ่านไม้ไผ่ที่มีค่าความด้านทานต่ำที่สุดคือ เผาที่อุณหภูมิ 30 – 400 °C, 400 - 700 °C, และ 700 - 1000 °C โดยทิ้งไว้ที่อุณหภูมิสูงสุดในแต่ละขั้นคือที่ 400 °C, 700 °C และ 1000 °C เป็นเวลา 30 นาที ได้ค่าความด้านทานไฟฟ้า 1.5  $\Omega$  เมื่อนำผงถ่านที่เผาได้ไปวัดขนาดของอนุภาค พบว่ามีขนาดเฉลี่ย 200.16  $\mu$ m และจากการศึกษาโครงสร้างด้วยเครื่อง XRD มีพีคที่แสดงถึงความเป็นผลึก ของถ่านไม้ไผ่ที่ค่า 2 $\theta$  = 27.5296 มีค่า intensity 30.2 % เมื่อเทียบกับดิฟแฟรกโทแกรมของผงแกรไฟต์ มาตรฐานที่มีค่า intensity ที่ตำแหน่งเดียวกันเป็น 100% แสดงถึงการจัดเรียงตัวของคาร์บอนในผลึกแกรไฟต์ ที่มีความเป็นระเบียบสูงกว่า ส่งผลให้สามารถนำไฟฟ้าได้ดีกว่าผงถ่านไม้ไผ่

จากการศึกษาเปรียบเทียบประสิทธิภาพการทำงานของขั้วไฟฟ้ากลาสซีคาร์บอนกับขั้วไฟฟ้าถ่าน-ไม้ไผ่ พบว่าขั้วไฟฟ้าถ่านไม้ไผ่สามารถขึ้นรูปทั้งโดยการอัดใส่ปีเปตทิป ในผงถ่านไม้ไผ่บริสุทธิ์ รวมถึงที่ใช้ พาราฟินเป็นตัวประสาน และโดยการอัดเม็ดโดยใช้ดินเหนียวเป็นตัวประสาน จากการวิเคราะห์พบว่า ขั้วไฟฟ้าผงถ่านไม้ไผ่ให้สัญญาณตอบสนองในสารละลายมาตรฐานตะกั่วที่ตำแหน่ง -0.1 V ซึ่งยังไม่สามารถ วิเคราะห์ได้ว่าเป็นสัญญาณของสารชนิดใดในสารละลาย ดังนั้น ขั้วไฟฟ้าถ่านไม้ไผ่จึงมีประสิทธิภาพในการ ตรวจวัดโลหะตะกั่วต่ำกว่าขั้วไฟฟ้ากลาสซีคาร์บอน

#### 5. กิตติกรรมประกาศ

ขอขอบคุณสถาบันวิจัยและพัฒนา มหาวิทยาลัยราชภัฏนครปฐม ที่ให้ทุนสนับสนุนการวิจัย

#### 6. เอกสารอ้างอิง

- [1] ชวลิต เชียงกูล. โลหะวิทยา. สมาคมส่งเสริมเทคโนโลยี (ไทย-ญี่ปุ่น), กรุงเทพฯ, 2547.
- [2] ณัฐวิกา ดาวเรื่อง. การพัฒนาวิธีการวิเคราะห์หาโลหะหนักตะกั่วปริมาณน้อย โดยวิธี โดยวิธี สแควร์เวฟ แอโนดิกสทริปปิงโวลแทมเมทรี. ปริญญาวิทยาศาสตรบัณฑิต. มหาวิทยาลัยราชภัฎนครปุฐม, นครปฐม, 2551.
- [3] ศดานันท์ อัสสาไพร. การวิเคราะห์หาแคดเมียมปริมาณน้อย โดยวิธีสแควร์เวฟแอโนดิกสทริปปิง โวลแทมเมทรี. ปริญญาวิทยาศาสตรบัณฑิต. มหาวิทยาลัยราชภัฎนครปฐม, นครปฐม, 2551.
- [4] Kumar, M. and Gupta, R. C., Electrical resistivity of Acacia Eucalyptus wood chars, J. Mat. Sci., Vol. 28; pp. 440-444, 1993.